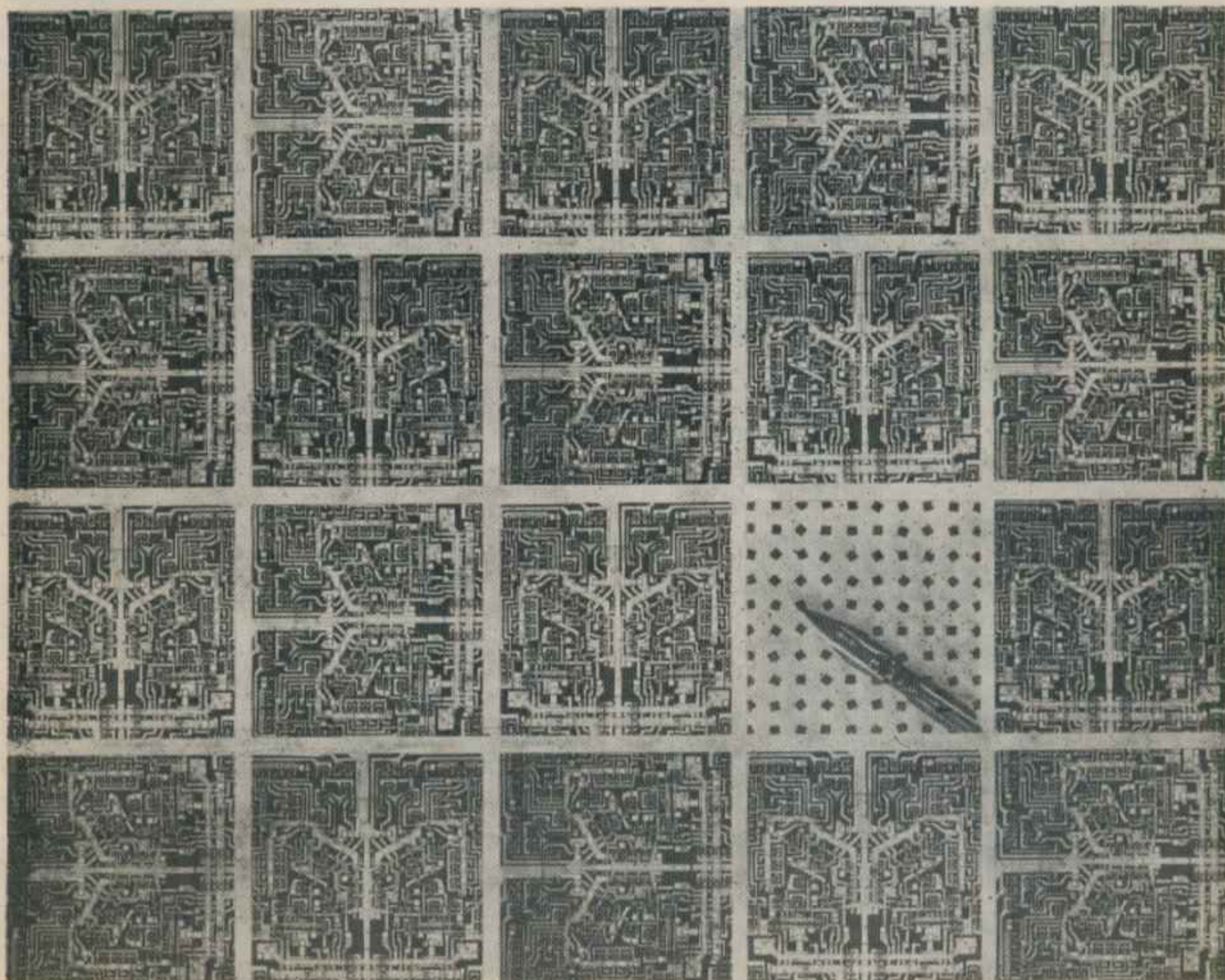




ТТЛ
МИКРОСХЕМЫ СЕРИИ
705





ТТЛ
МИКРОСХЕМЫ СЕРИИ
705

НАЗНАЧЕНИЕ И ОПРЕДЕЛЕНИЕ

Интегральные полупроводниковые бескорпусные микросхемы типа ТТЛ серии 705 предназначены для построения гибридных микросхем, применяемых в логических устройствах вычислительной техники, автоматики и измерительной техники.

Функциональный состав микросхем серии 705 является достаточно полным и позволяет строить гибридные логические микросхемы любой сложности.

КОНСТРУКТИВНЫЕ ХАРАКТЕРИСТИКИ

Микросхемы серии 705 изготавливаются в бескорпусном исполнении со столбиковыми выступами. Габаритные размеры кристаллов и нумерация выводов (столбиковых выступов) микросхем показаны на рис. 1.

Максимальное количество выводов на одном кристалле — 16.

Все микросхемы данной серии изготавливаются на кристаллах размером $1,8 \times 1,8$ мм.

Таблица 1

Обозначение типа микросхем	Функциональное назначение	Номер рисунка
705ЛБ1	Четыре логических элемента 2И-НЕ	2
705ЛБ2	Три логических элемента 2И-НЕ	3
705ЛБ3	Два логических элемента 4И-НЕ	4
705ЛР4	Логический элемент 3-ИИ-ИЛИ-НЕ и логический элемент 2-И-ИЛИ-НЕ	5
705ЛР2	Логический элемент 4-ИИ-ИЛИ-НЕ	6
705ЛР3	Логический элемент 2-И-ИИ-ИЛИ-НЕ	7
705ЛБ4	Логический элемент 8И-НЕ	8
705ТВ1	J-K триггер	9
705ИЛ1	Два полусумматора	10
705ЛР5	Логический элемент 2-И-ИИ-ИЛИ-НЕ	11
705ЛР1	Два объединенных логических элемента 2-И-ИИ-ИЛИ-НЕ	12
705СИ1	Схема управления	13
705ТР1	Два R-S триггера	14

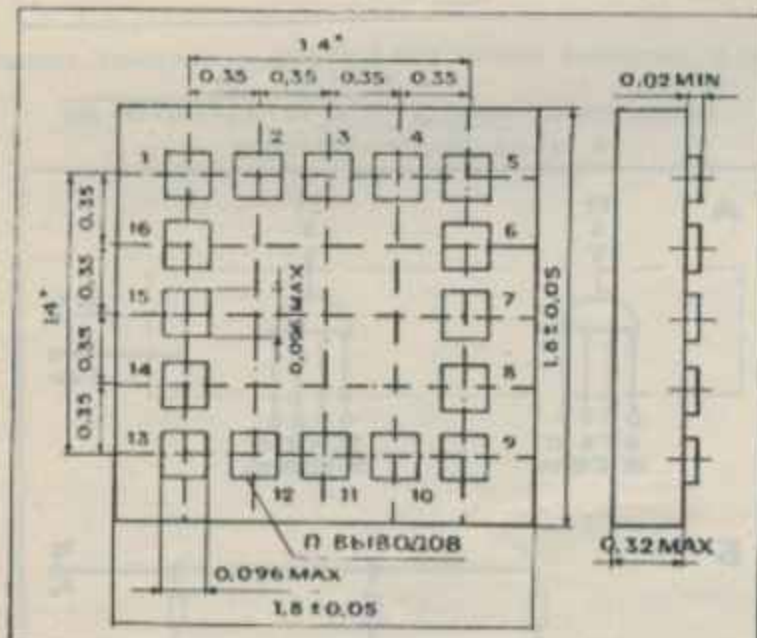


Рис. 1. Габаритные размеры кристалла и нумерация выводов микросхемы

ОБОЗНАЧЕНИЕ, ТИПЫ

Функциональное назначение логических элементов приведено в табл. 1. Функциональные и принципиальные электрические схемы представлены на рис. 2—14.

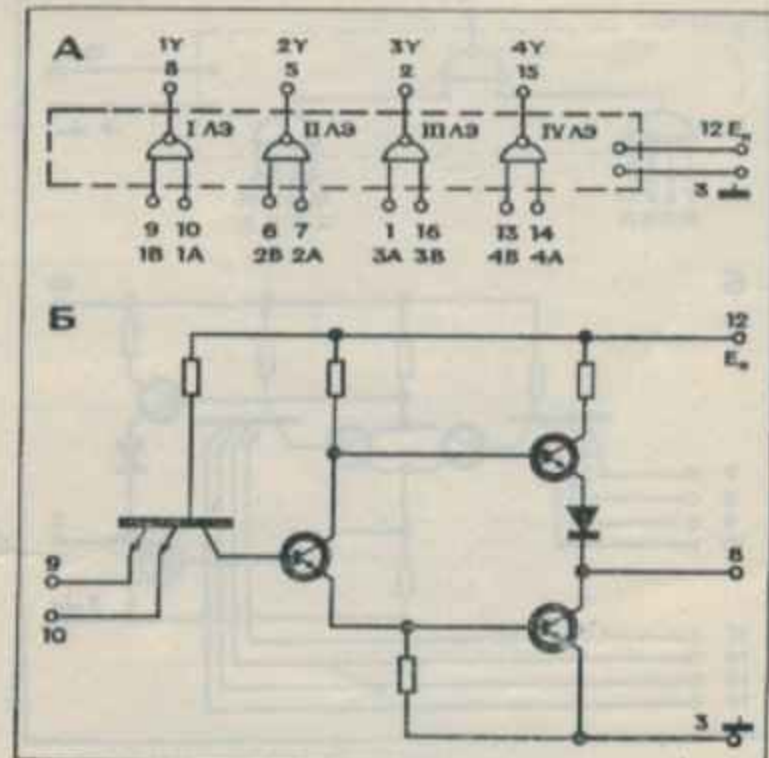


Рис. 2. Четыре логических элемента 2И-НЕ 705ЛБ1 (положительная логика $U = A \cdot B$)



ТТА
МИКРОСХЕМЫ СЕРИИ
705

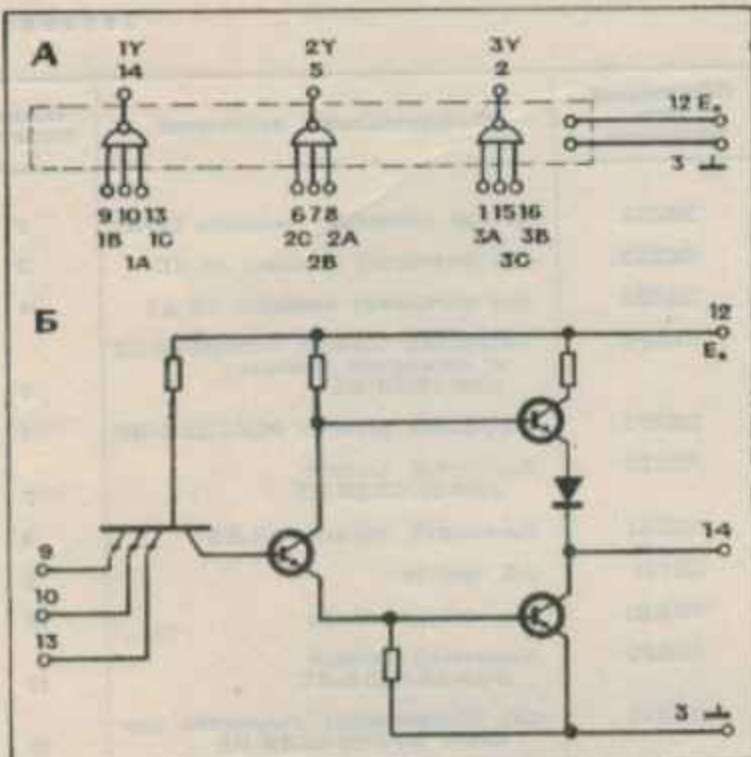


Рис. 3. Три логических элемента ЗИ-НЕ
(положительная логика $у = \overline{A \cdot B \cdot C}$) 705ЛБ2

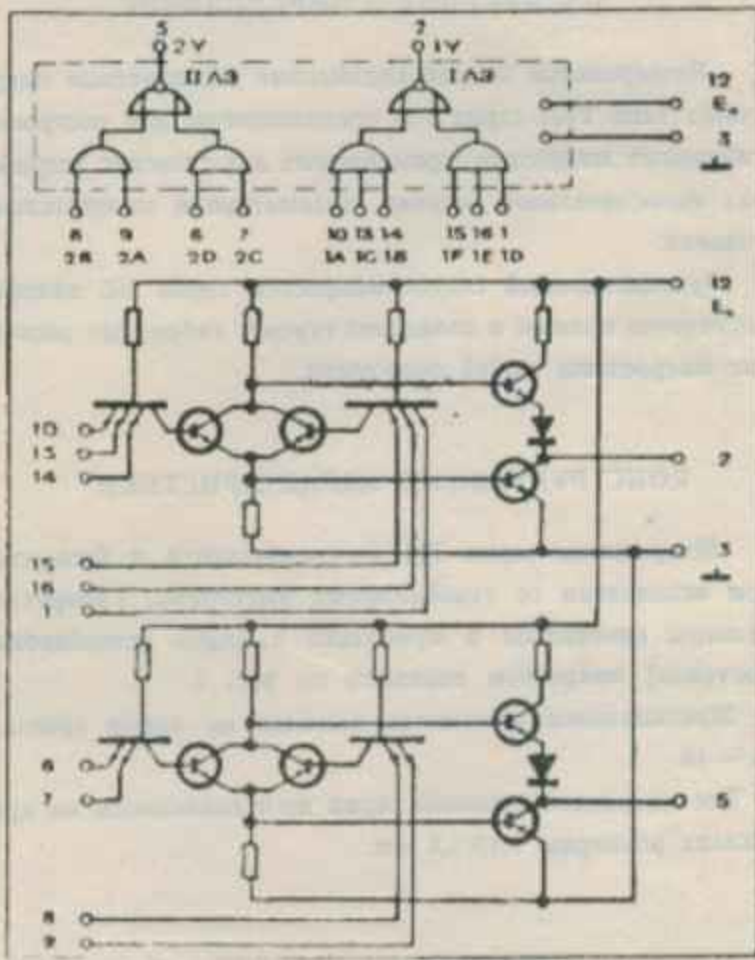


Рис. 5. Логический элемент 3И-ЗИЛ-НЕ и логический элемент 2ИЛ-НЕ
(положительная логика $1Y = (\overline{IA} \cdot \overline{IB} \cdot \overline{IC}) + (\overline{IE} \cdot \overline{IF} \cdot \overline{ID})$
и $2Y = (\overline{LA} \cdot \overline{LB}) + (\overline{LC} \cdot \overline{LD})$) 705ЛР4

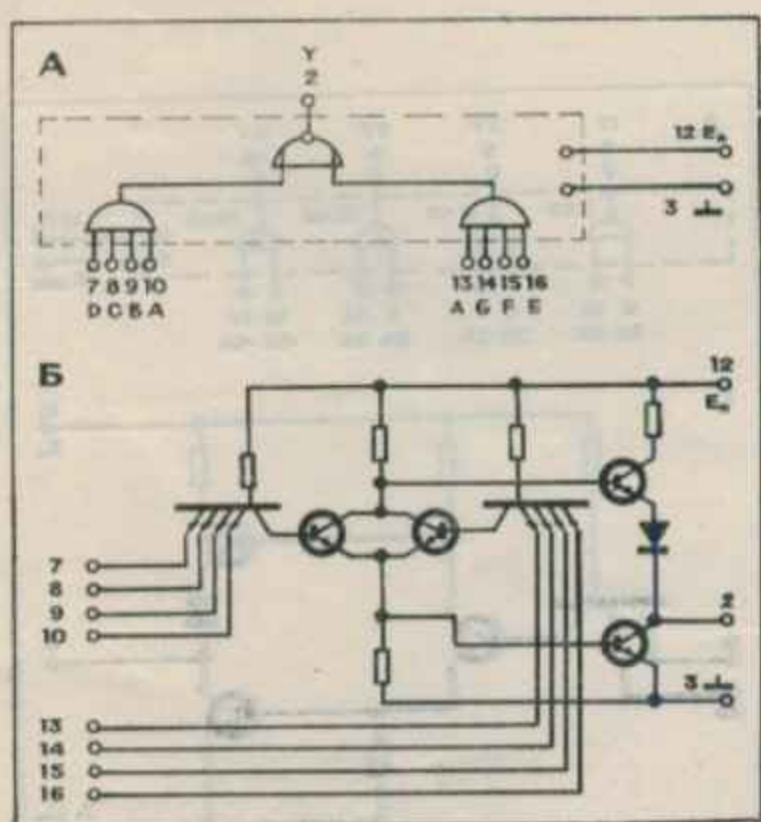


Рис. 4. Логический элемент 4-ИЛ-2ИЛ-НЕ
(положительная логика $у = (\overline{A} \cdot \overline{B} \cdot \overline{C} \cdot \overline{D}) + (\overline{E} \cdot \overline{F} \cdot \overline{G} \cdot \overline{H})$)
705ЛР2

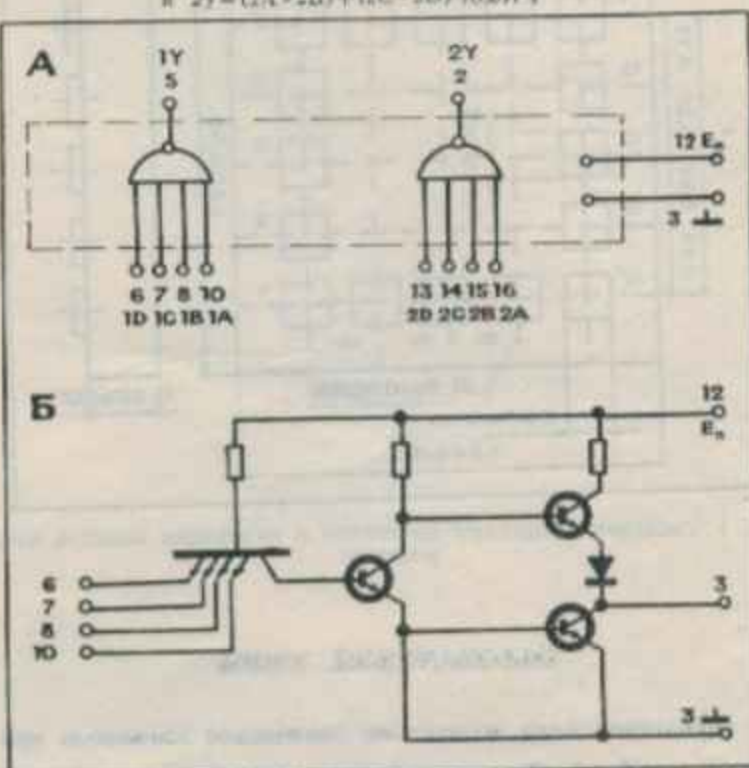


Рис. 6. Для логических элементов 4И-НЕ
(положительная логика $у = \overline{A \cdot B \cdot C \cdot D}$) 705ЛВ3



TTA
МИКРОСХЕМЫ СЕРИИ
705

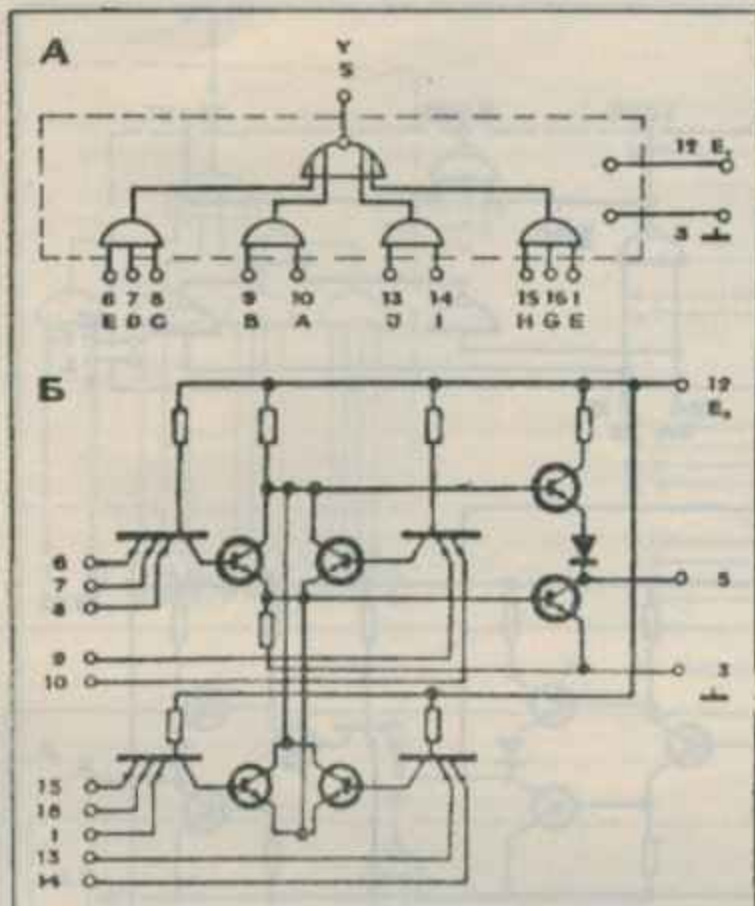


Рис. 7. Логический элемент 2-2-3И-НДИ-НЕ
Сложительная логика $Y = (A \cdot B) + (C \cdot D \cdot E) + (F \cdot G \cdot H) + (I \cdot J)$
705ЛР3

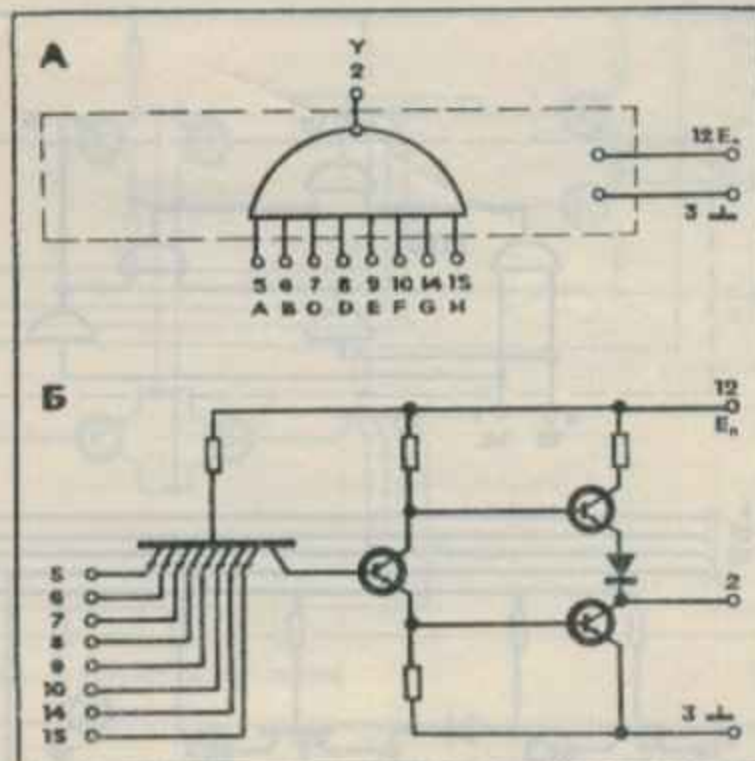


Рис. 8. Логический элемент 2И-НЕ
Сложительная логика $Y = A \cdot B \cdot C \cdot D \cdot E \cdot F \cdot G \cdot H$
705ЛБ4

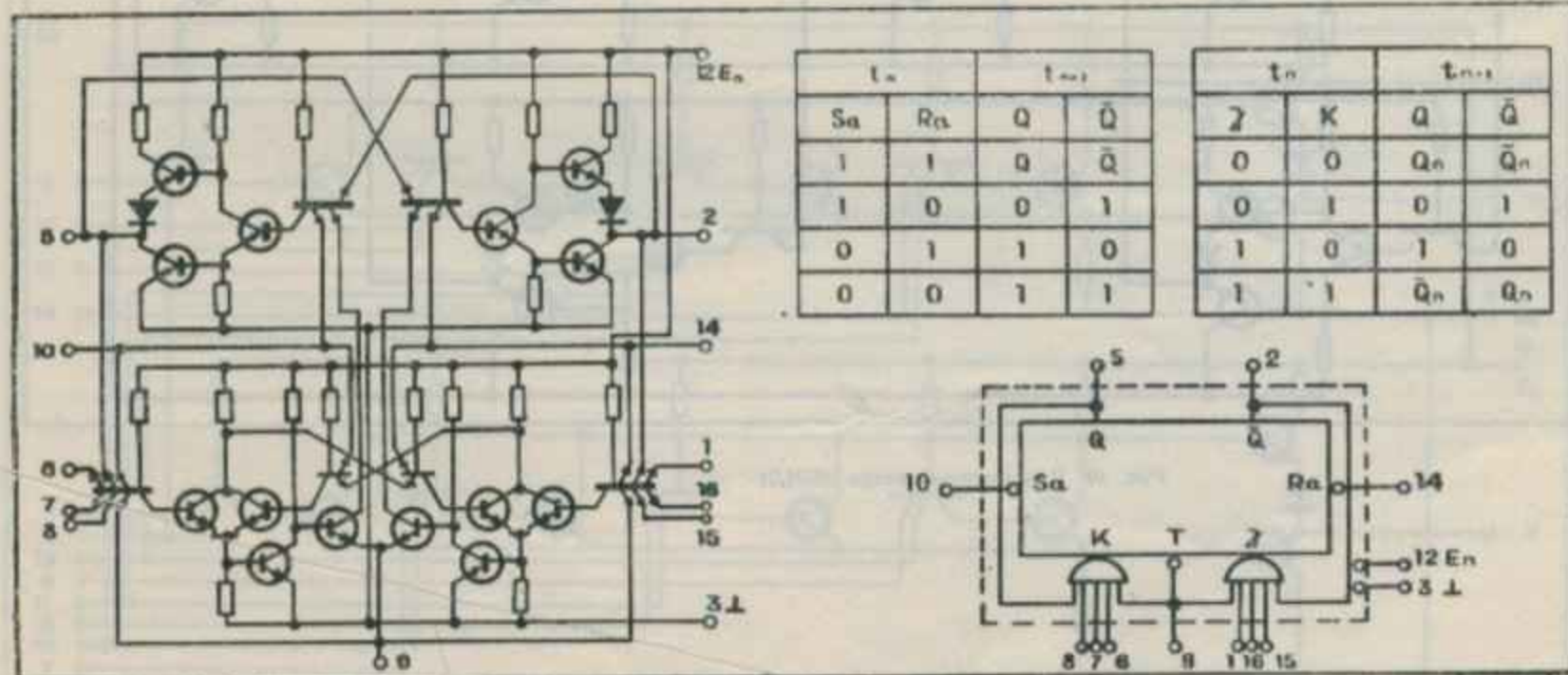


Рис. 9. J-K триггер 705ТД1



TTA
МИКРОСХЕМЫ СЕРИИ
705

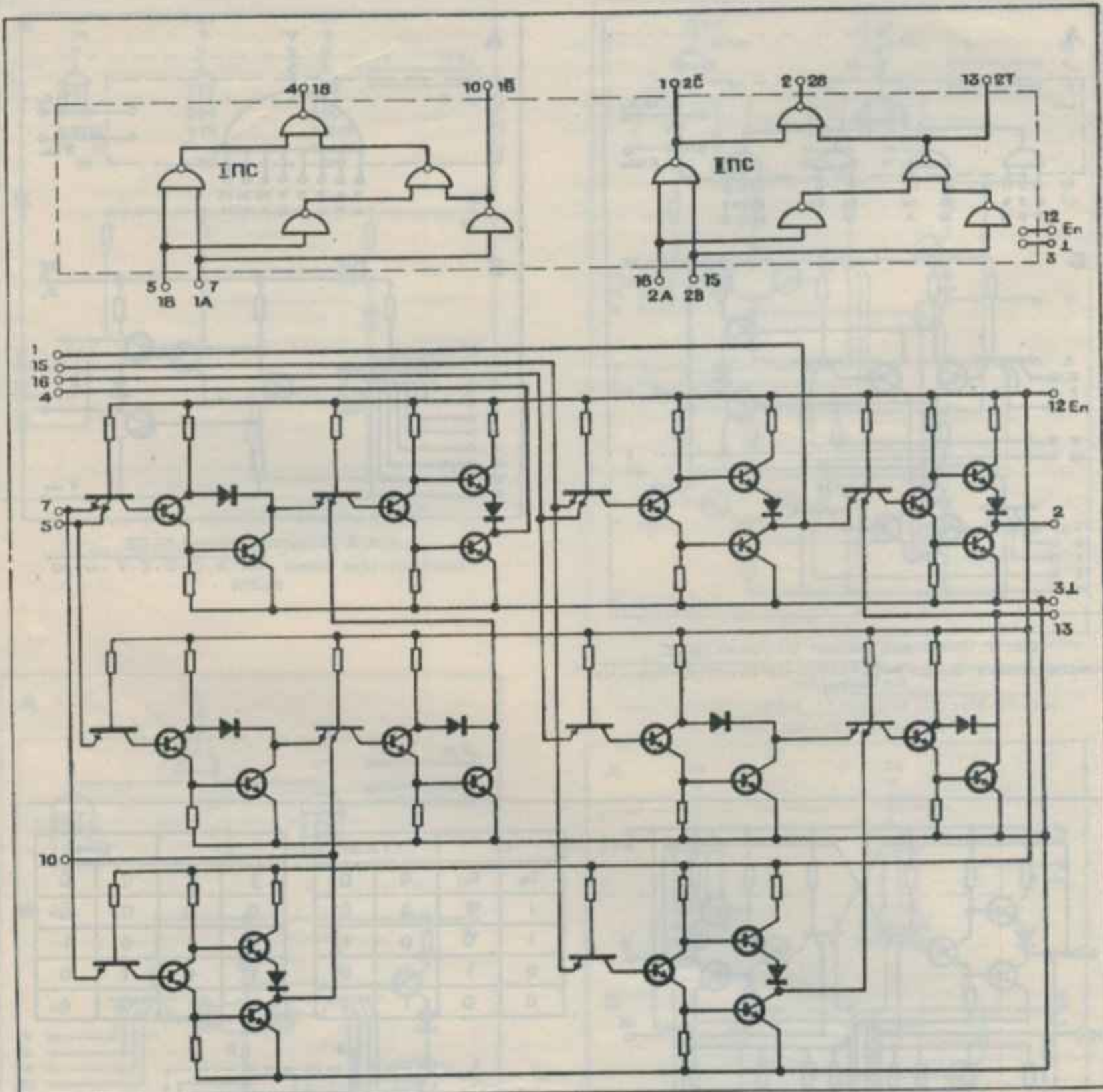


Рис. 10. Два полусумматора 7054J71



TTA
МИКРОСХЕМЫ СЕРИИ
705

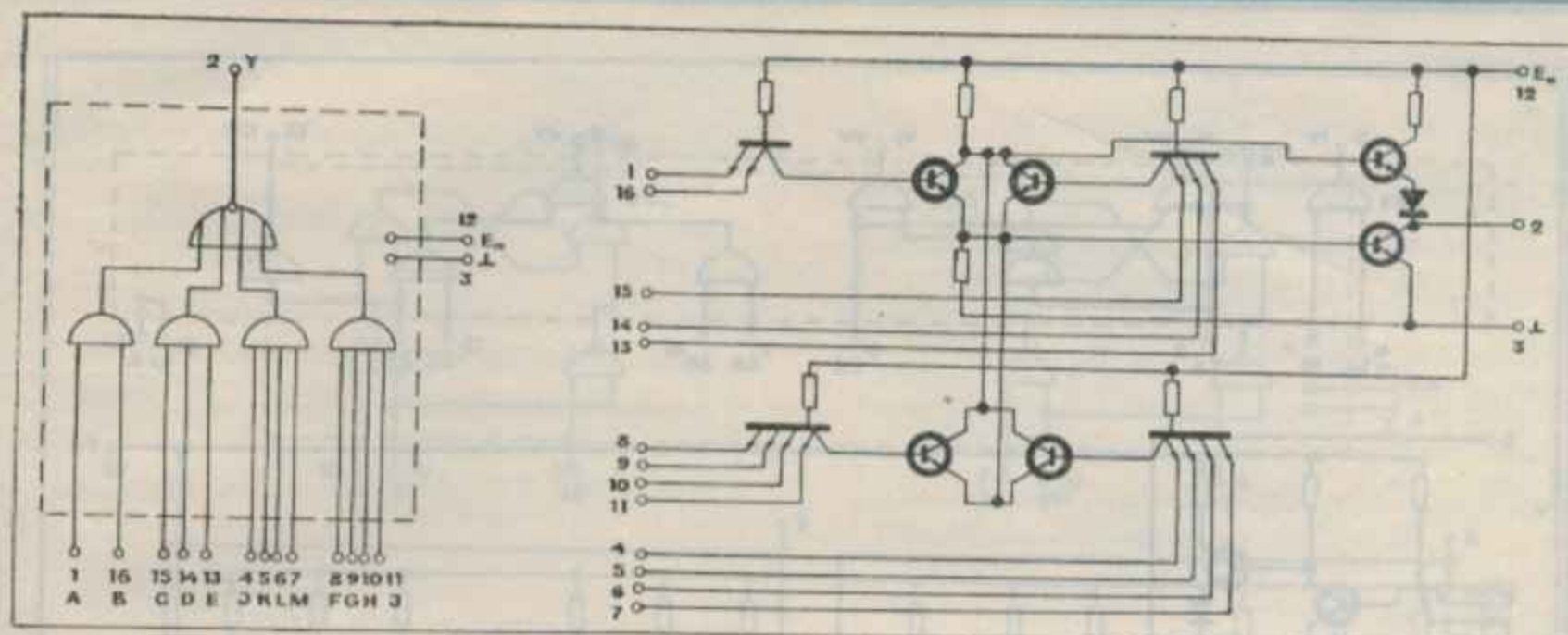


Рис. 11. Логический элемент 2-3-ИЛИ-ИЛИ-НЕ 705ЛР

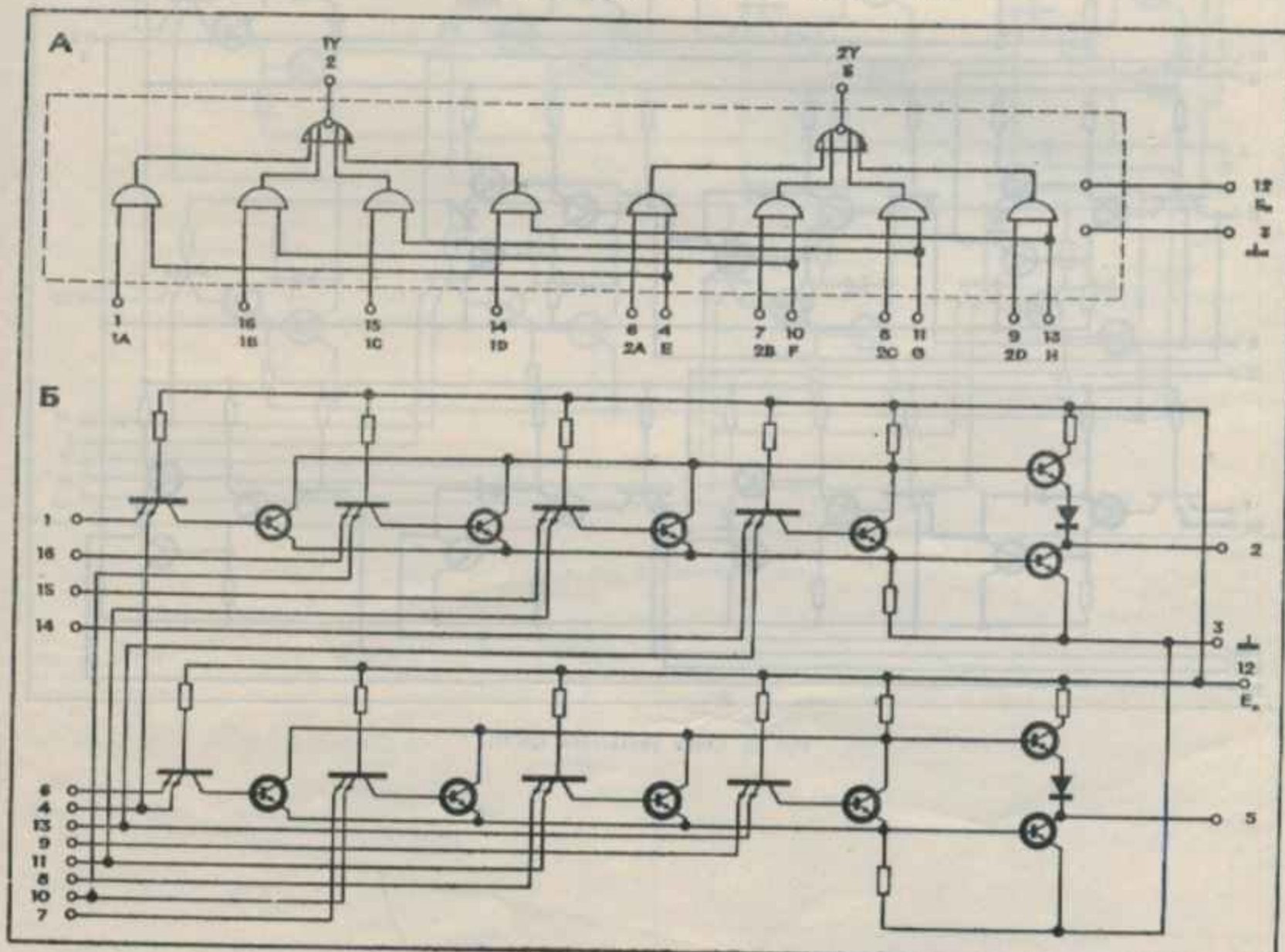


Рис. 12. Два объединенных логических элемента 2-2-ИЛИ-ИЛИ-НЕ 705ЛР



TTA
МИКРОСХЕМЫ СЕРИИ
705

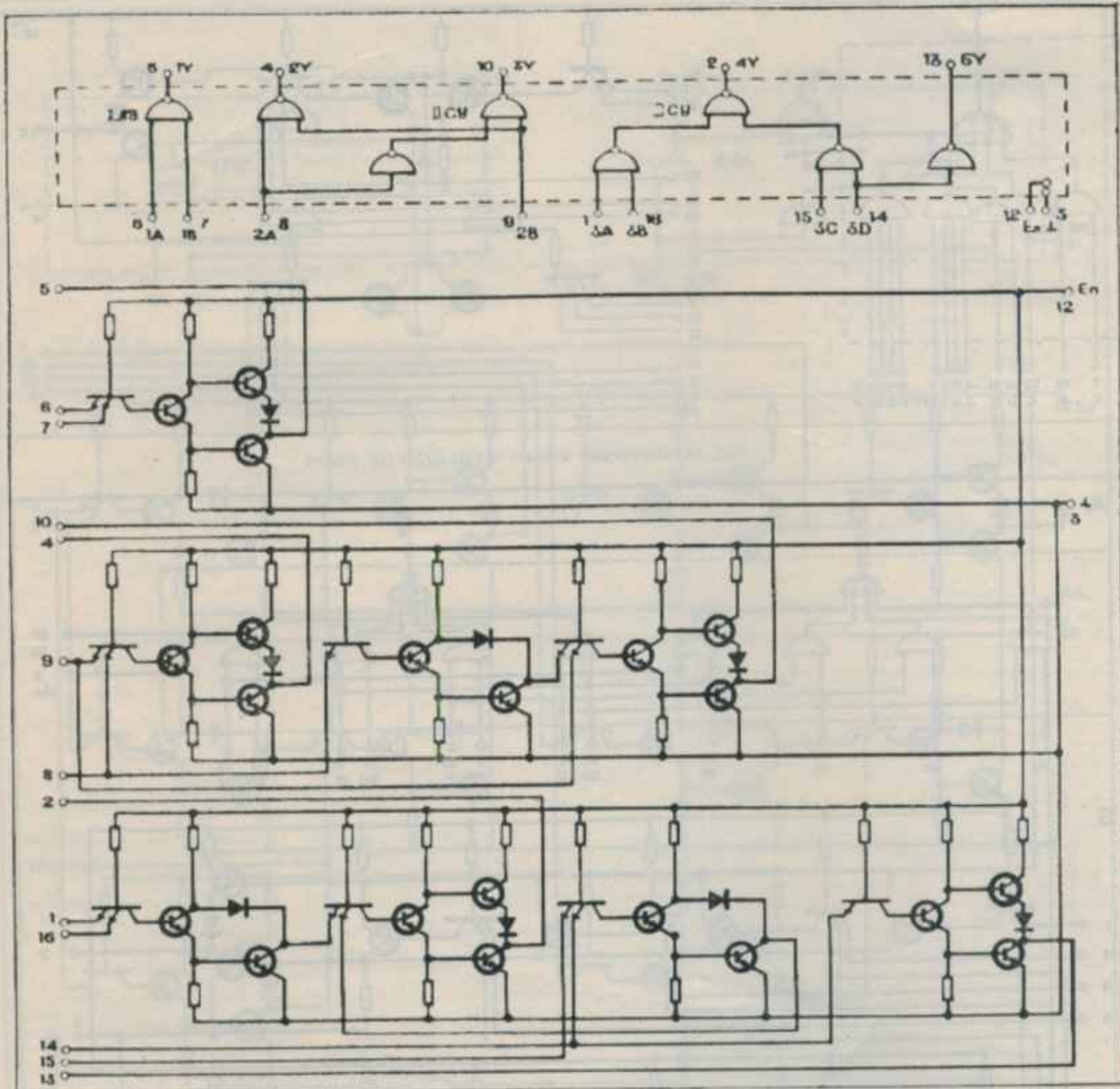


Рис. 13. Схема управления 705CPI



TTA
МИКРОСХЕМЫ СЕРИИ
705

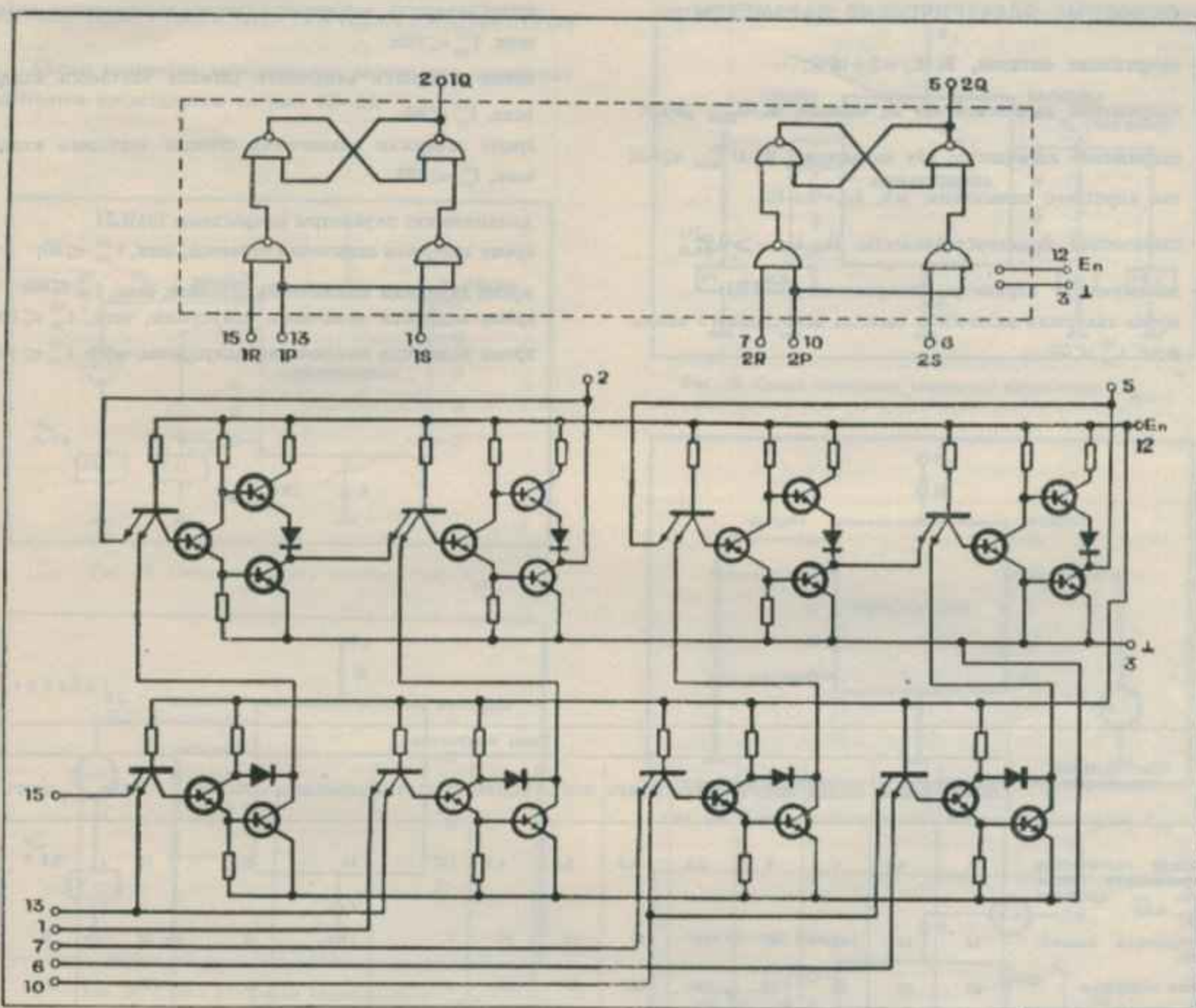


Рис. 14. Два R-S триггера 705TR1



TTP
МИКРОСХЕМЫ СЕРИИ
705

ОСНОВНЫЕ ЭЛЕКТРИЧЕСКИЕ ПАРАМЕТРЫ

- напряжение питания, В, $E_{\text{д}} = 5 \pm 10\%$;
- напряжение логической «1» на выходе, В, $U_{\text{вых}}^1 \geq 2,4$;
- напряжение логического «0» на выходе, В, $U_{\text{вых}}^0 \leq 0,3$;
- ток короткого замыкания, мА, $I_{\text{ш}} = 3 \pm 15$;
- статическая помехоустойчивость, В, $U_{\text{пер}} \geq 0,4$;
- динамические параметры микросхемы 705TB1:
время задержки включения сигнала асинхронного входа,
нсек, $t_{\text{з}}^{10} \leq 90$;

время задержки выключения сигнала асинхронного входа
нсек, $t_{\text{в}}^{01} \leq 180$;
время задержки включения сигнала тактового входа,
нсек, $t_{\text{з}}^{10} \leq 90$;
время задержки выключения сигнала тактового входа,
нсек, $t_{\text{в}}^{01} \leq 180$.

— динамические параметры микросхемы 705ИЛ1

время задержки включения переноса, нсек, $t_{\text{з}}^{10} \leq 60$;
время задержки выключения переноса, нсек, $t_{\text{в}}^{01} \leq 60$;
время задержки включения полусуммы, нсек, $t_{\text{з}}^{10} \leq 180$;
время задержки выключения полусуммы, нсек, $t_{\text{в}}^{01} \leq 180$.

Таблица 2

Наименование параметров	Типы микросхем												
	705ЛБ1	705ЛБ2	705ЛБ3	705ЛР1	705ЛР2	705ЛР3	705ЛБ4	705ЛР5	705TB1	705ИЛ1	705ЛР1	705СН1	705TP1
Средняя статическая потребляемая мощность из кристалла Рср, мВт	6	4,5	3	5	2,5	4,5	1,5	4,5	5,0	15	9,0	12	12
Нагрузочная способность	10	10	10	10	10	10	10	10	5	9	10	10	9
Время задержки включения $t_{\text{з}}^{10}$, нсек, не более	60	60	60	60	60	60	90	60	—	—	60	120	180
Время задержки выключения $t_{\text{в}}^{01}$, нсек, не более	60	60	60	90	90	90	60	90	—	—	90	120	150
Входной ток при «лог 1» на входе $I_{\text{вх}}$, мА, не более	50	50	50	50	50	50	50	50	из входов 9, 10, 14: 100; из остальных 50	из входов 5, 7, 16, 18: 100; из остальных 50	из входов 4, 10, 11, 13: 100; из остальных 50	из входов 8, 9, 14: 100; из остальных 50	из входов 10, 13: 100; из остальных 50
Входной ток при «лог 0» на входе $I_{\text{вх}}$, мА, не более	-0,18	-0,18	-0,18	-0,18	-0,18	-0,18	-0,18	-0,18	из входов 9, 10, 14: -0,36	из входов 5, 7, 16, 18: -0,36	из входов 4, 10, 11, 13: -0,36	из входов 8, 9, 14: -0,36	из входов 10, 13: -0,36
									из остальных 50: -0,18	из остальных 50: -0,18	из остальных 50: -0,18	из остальных 50: -0,18	из остальных 50: -0,18



TTA
МИКРОСХЕМЫ СЕРИИ
705

СХЕМЫ ИЗМЕРЕНИЯ ЭЛЕКТРИЧЕСКИХ ПАРАМЕТРОВ

Схемы измерения электрических параметров логических элементов представлены на рис. 15—24.

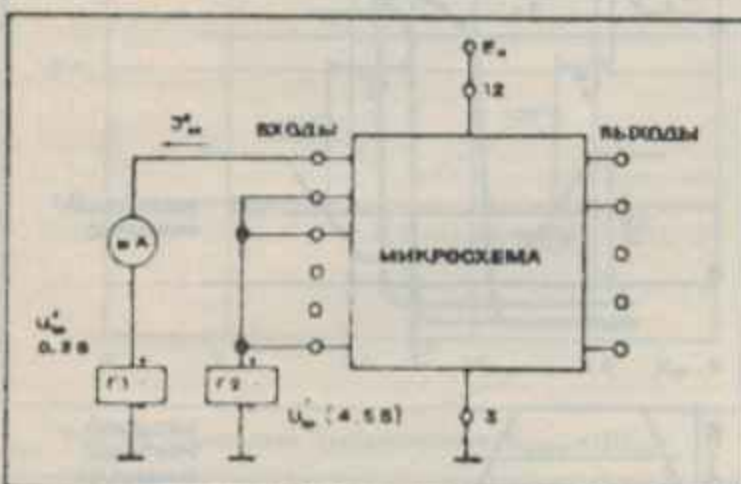


Рис. 15. Схема измерения входного тока I_B^0 .

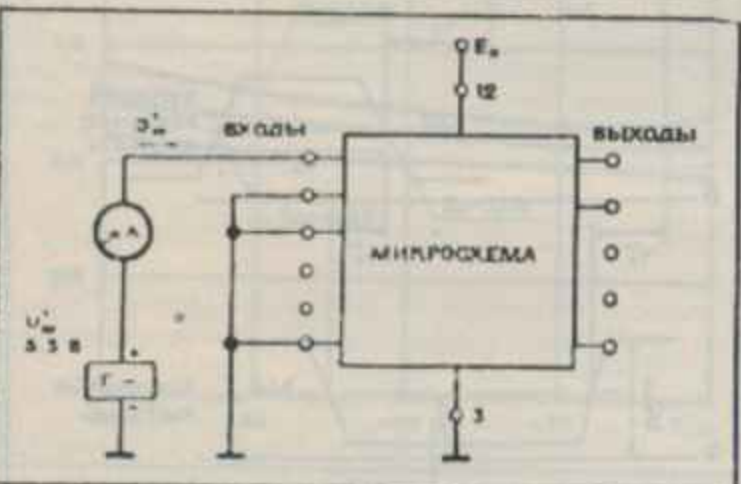


Рис. 16. Схема измерения входного тока I_B^1 .

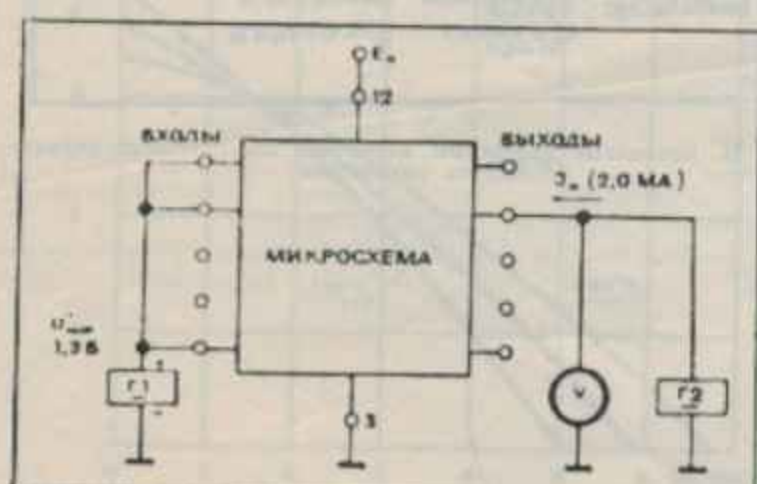


Рис. 17. Схема измерения выходного напряжения U_O^0 .

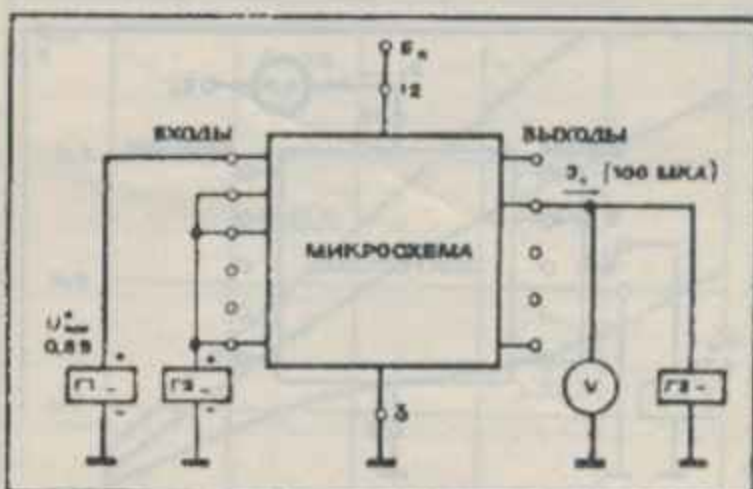


Рис. 18. Схема измерения выходного напряжения U_O^1 .

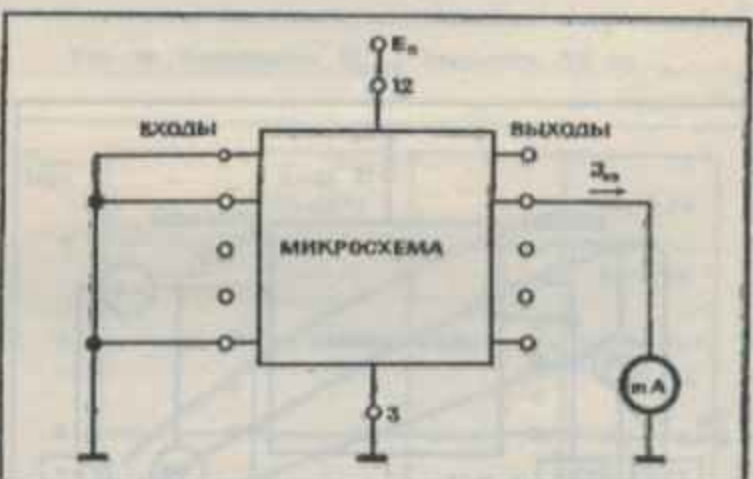


Рис. 19. Схема измерения тока короткого замыкания I_S^0 .

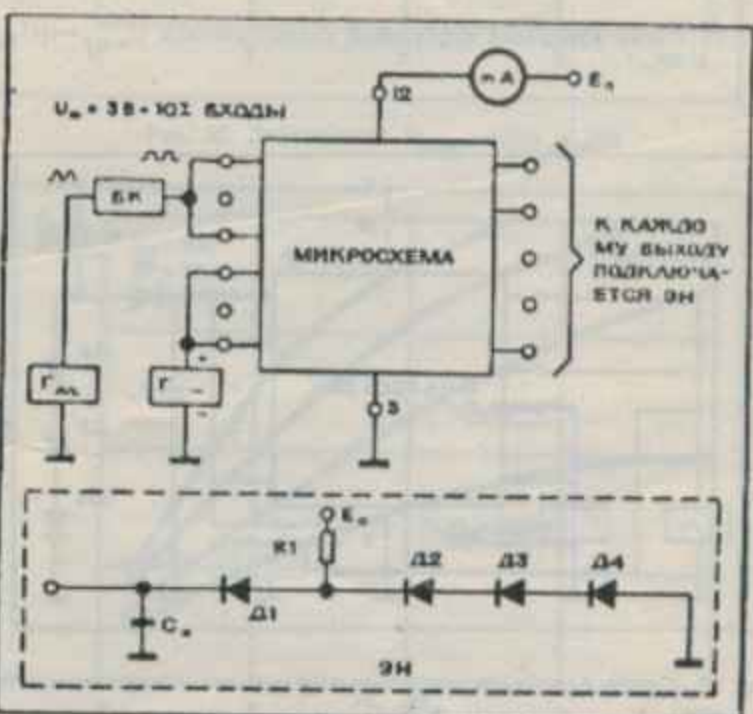


Рис. 20. Схема измерения динамического потребляемого тока I_{DKZ} .



ТТЛ
МИКРОСХЕМЫ СЕРИИ
705

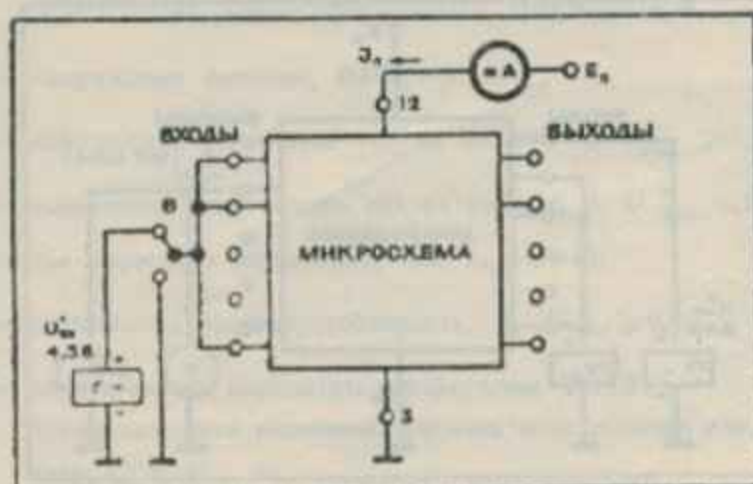


Рис. 21. Схема измерения потребляемого тока I_B^0 (I_B^1)

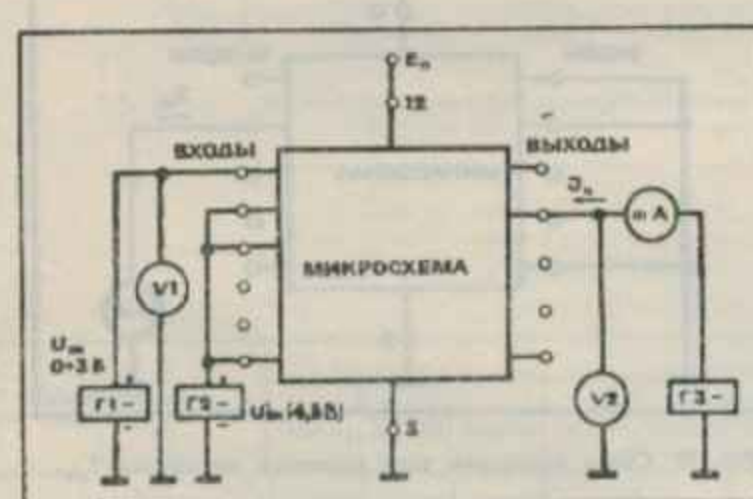


Рис. 22. Схема измерения переходной характеристики $U_{зых} = f(U_{зх})$

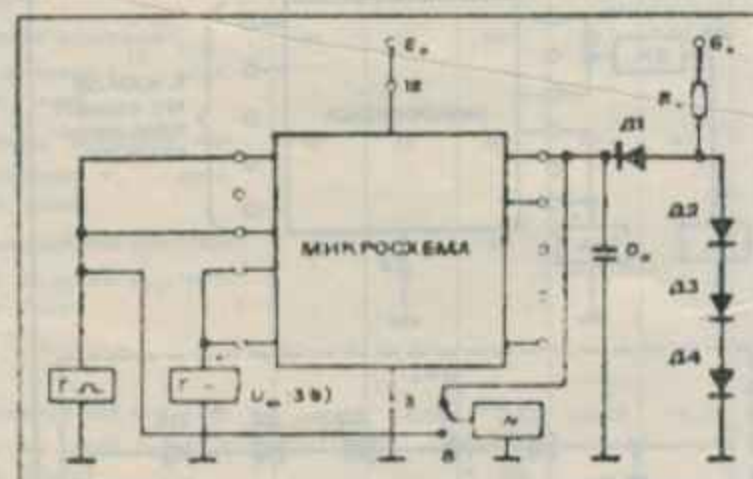


Рис. 23. Схема измерения электрических динамических параметров t_{10} , t_{11}

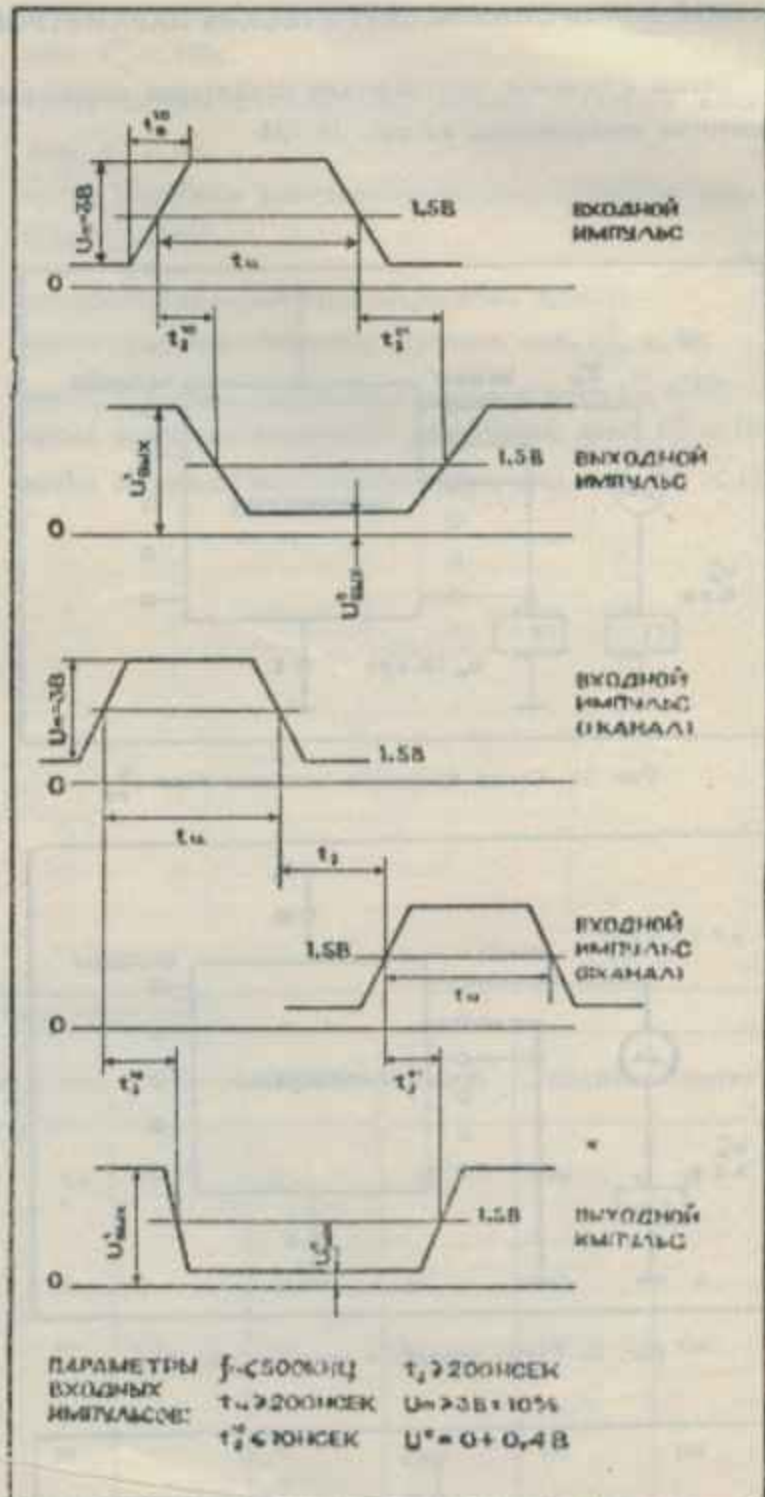


Рис. 24. Временные диаграммы измерения электрических динамических параметров



TTA
МИКРОСХЕМЫ СЕРИИ
705

ОСНОВНЫЕ ТИПОВЫЕ ЗАВИСИМОСТИ

Основные типовые зависимости для одного логического элемента представлены на рис. 25—32.

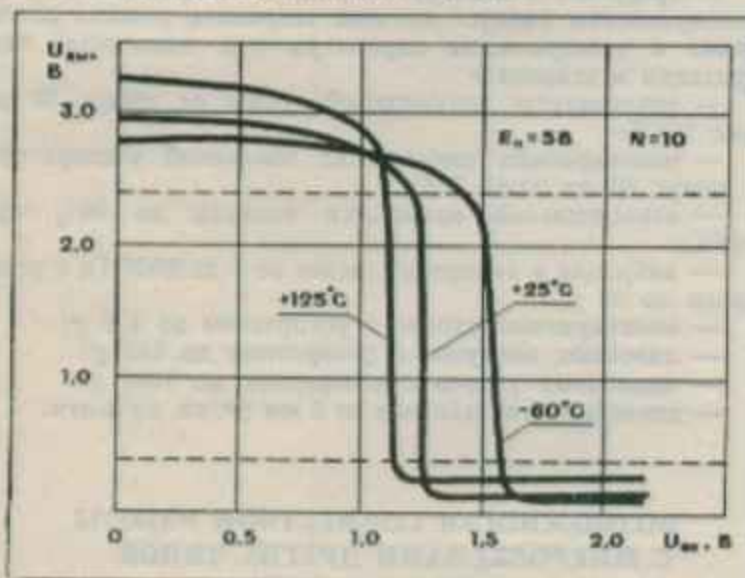


Рис. 25. Переходная характеристика $I_{O_{MAX}} - f(U_{IN})$

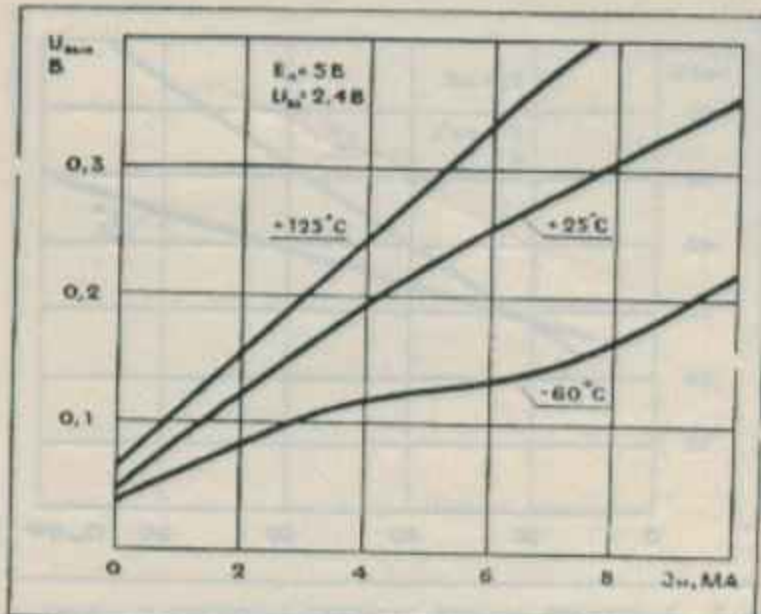


Рис. 26. Зависимость $U_{O_{MAX}}$ от открытого ЛЭ от I_o

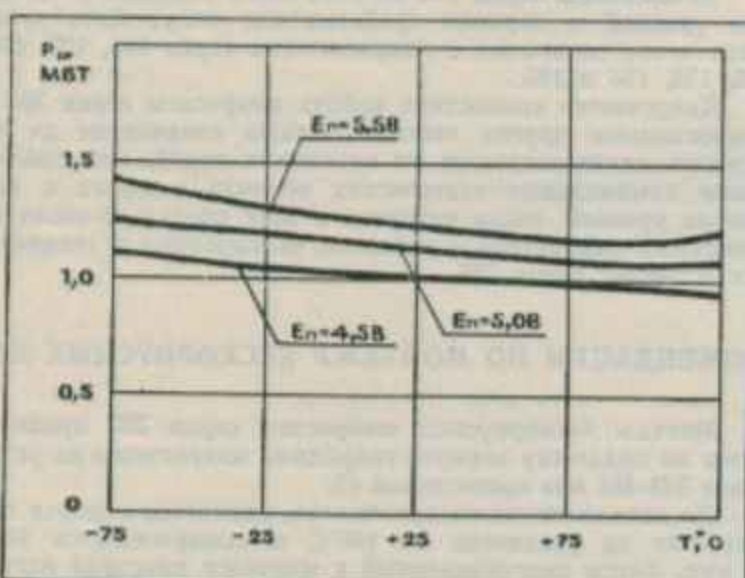


Рис. 26. Зависимость P_{DP} — $f(E_{\text{в}}$ и T)

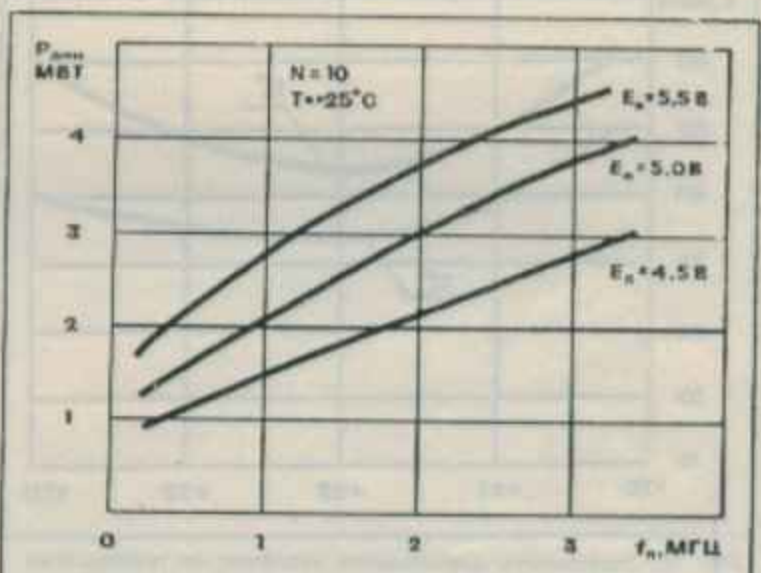


Рис. 29. Зависимость P_{DPN} — $f(E_{\text{в}}$ и I_o)

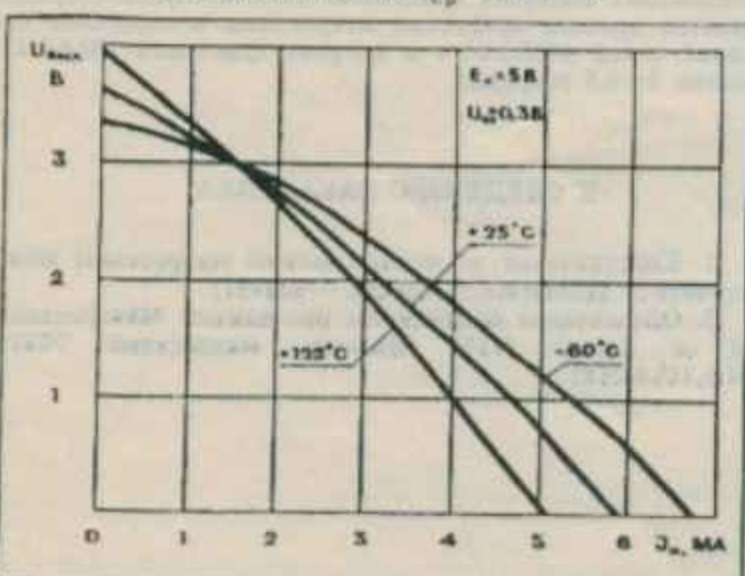


Рис. 27. Зависимость $U_{O_{MAX}}$ закрытого ЛЭ от I_o

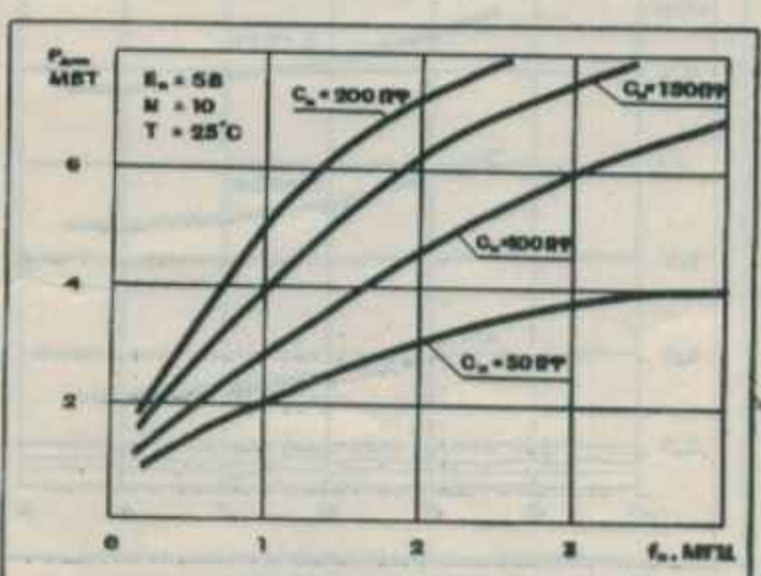


Рис. 30. Зависимость P_{DPN} — $f(C_L$ и I_o)



TTL
МИКРОСХЕМЫ СЕРИИ
705

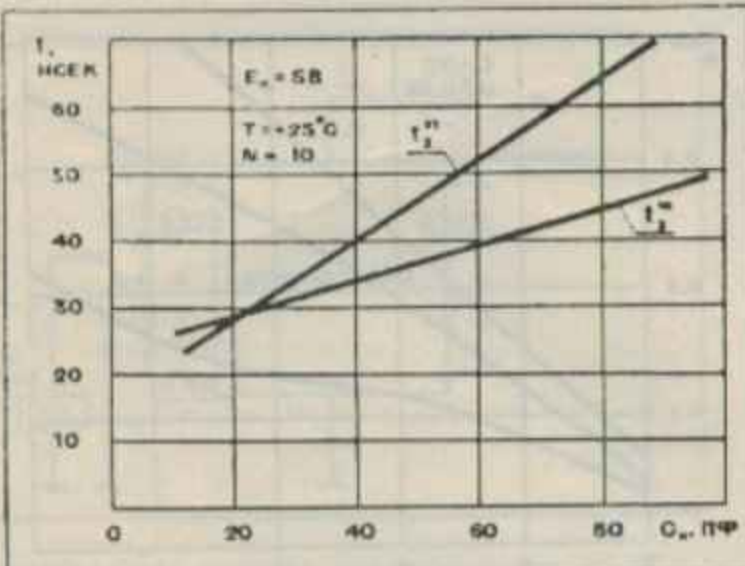


Рис. 31. Зависимость времени задержки включения и выключения от I_a

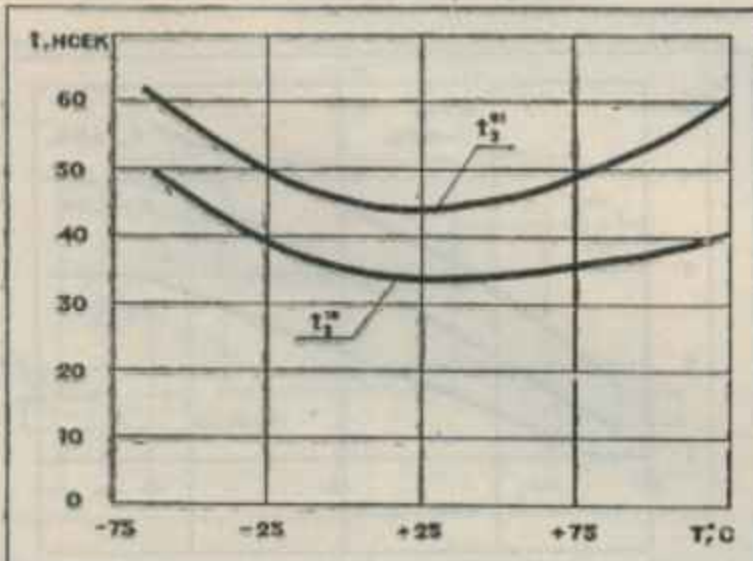


Рис. 32. Зависимость длительности задержек от температуры

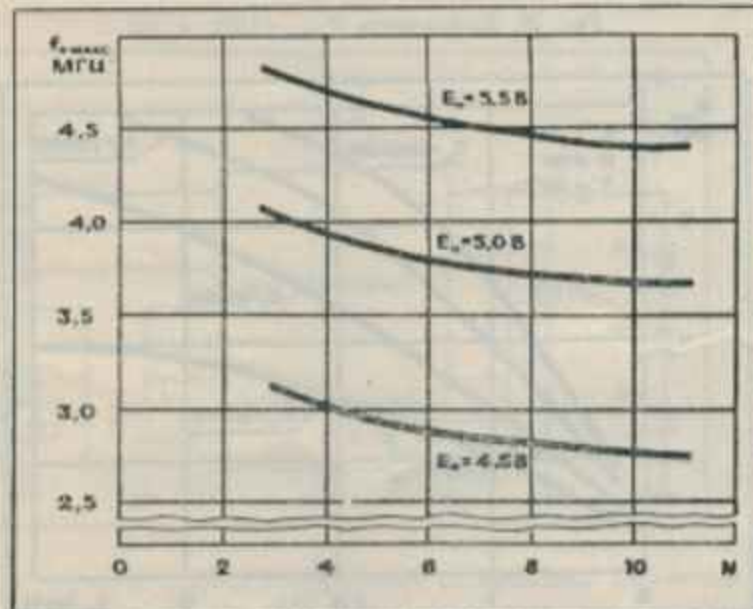


Рис. 33. Зависимость максимальной частоты переключения З-К триггера от эквивалентной нагрузки NIRn, Cb

УСЛОВИЯ ЭКСПЛУАТАЦИИ

Микросхемы в составе гибридной микросхемы в герметизированном корпусе должны сохранять целостность конструкции и электрические параметры при длительной эксплуатации в условиях:

- температуры окружающей среды от минус 60 до плюс 125°C;
- многократных циклических изменений температуры от минус 60 до плюс 125°C;
- относительной влажности воздуха до 98%, при +40°C;
- вибрации в диапазоне частот от 5 до 5000 Гц с ускорением до 40 g;
- многократных ударов с ускорением до 150 g;
- линейных нагрузок с ускорением до 150 g;
- одиночных ударов с ускорением до 1000 g;
- атмосферного давления от 5 мм рт. ст. до 3 атм.

ВОЗМОЖНОСТИ СОВМЕСТНОЙ РАБОТЫ С МИКРОСХЕМАМИ ДРУГИХ ТИПОВ

Микросхемы серии 705 по величинам входных и выходных уровней и порогам срабатывания могут быть непосредственно соединены с микросхемами серий 106, 133, 134, 136, 130, 156 и 240.

Допускается совместная работа микросхем серии 705 с микросхемами других типов, а также соединение их со схемами, отличающимися от названных серий, при соблюдении номинальных статических величин входных и выходных уровней, токов нагрузки и всех предельно-эксплуатационных параметров и режимов, оговоренных в технических условиях серии 705.

РЕКОМЕНДАЦИИ ПО МОНТАЖУ БЕСКОРПУСНЫХ ИС

Монтаж бескорпусных микросхем серии 705 производится на подложку корпуса гибридной микросхемы на установке ЭМ-431 или аналогичной ей.

До начала монтажа кристаллов, подложка корпуса нагревается на установке до 100°C и выдерживается 10–15 мин. Затем подготовленный к монтажу кристалл нагревается до $200 \pm 5^\circ\text{C}$ и держится до расплавления припоя на стойбищевых выступах кристалла. Окончательной операцией является прижим кристалла микросхемы к подложке суммарной силой 1450 ± 20 г и нагрева кристалла $380 \pm 5^\circ\text{C}$ в течение 5 ± 0.5 секунды.

К СВЕДЕНИЮ ЗАКАЗЧИКА

1. Консультации по использованию микросхемы можно получить в ЦБПИМС (Москва — 103482).
2. Обозначение микросхемы при заказе: «Микросхема», тип и номер ЧТУ. Пример: микросхема 705ТВ1 ХИО.348.010.ТУ.